

# پایش کیفیت پهنه‌های آبی با استفاده از تصاویر سنجش از دور هوایی و ماهواره‌ای (مفاهیم، روش‌ها و راهکارهای نوین)

پهنه‌های آبی بدون شک از مهم‌ترین اکوسیستم‌های طبیعی کره زمین است. لذا پایش و نظارت بر سلامت آن‌ها، یکی از اولویت‌های اصلی مدیران ارشدمتایع طبیعی هر کشوری محسوب می‌شود. پایش مستمر پهنه‌های آبی با روش‌های متداول و سنتی، امری دشوار و هزینه‌بر است؛ از طرفی به کارگیری فناوری‌های نوین مانند تصاویر ماهواره‌ای و سنجش از دور در بسیاری از کاربردها مغایر، سریع و کم‌هزینه ظاهر شده است. یکی از مهم‌ترین کاربردهای تصاویر سنجش از دور، پایش کمی و کیفی پهنه‌های آبی است. از این رو در این تحقیق به بیان مفاهیم، مزایا، روش‌ها، محدودیت‌ها و قابلیت‌های علم و فناوری سنجش از دور در پایش پهنه‌های آبی پرداخته شده است. براساس نتایج حاصل از تحقیق حاضر، استفاده از روش‌های تجربی، تحلیلی و نیمه-تجربی/ نیمه‌تحلیلی در استخراج متغیرهای کیفیت پهنه‌های آبی می‌تواند مفید واقع شود. در این راستا، معادلات رگرسیون خطی بیش از سایر معادلات موردنوجه محققان قرار گرفته است. علاوه بر این، منافع و مزیت‌های کاربرد فناوری‌های فضایی در رفع چالش‌های پایش پهنه‌های آبی کشور، مورد تأیید قرار می‌گیرد.

**واژه‌های کلیدی:** سنجش از دور، کیفیت آب، پهنه‌های آبی، تصاویر فضایی، تصاویر هوایی.

## Monitoring the Quality of Water Bodies Using Satellite and Aerial and satellite imagery Remote Sensing Imagery (Concepts, Methods and New Approaches)

Undoubtedly water bodies are one of the important ecosystems in the world. Therefore, monitoring and protection of their health is one of the main priorities of the top natural resource managers of each country. The protection of the water bodies using conventional and traditional methods is a difficult and costly task. On the other hand, new technologies and sciences such as satellite or aerial remote sensing can be suitable and cost-effective for many environmental applications. Monitoring the quality of water bodies is one of the applications of remote sensing. Consequently, concepts, advantages, methods, and limitations of remote sensing in monitoring water bodies are presented in this study. Based on results, empirical, analytical, and semi-empirical/ semi-analytical approaches can be effectively used to extract water quality parameters from captured images in remote sensing.

**Keywords:** Remote Sensing, Water quality, Water bodies, Regression approaches

میلاد جانعلی‌پور<sup>۱</sup>، استادیار، پژوهشگاه هواشناس، وزارت علوم، تحقیقات و فناوری حديثه پابایی<sup>۲</sup>، کارشناس، پژوهشگاه هواشناس، وزارت علوم، تحقیقات و فناوری مریم صلواتی‌فر<sup>۳</sup>، استادیار، پژوهشگاه هواشناس، وزارت علوم، تحقیقات و فناوری نادیا عباس‌زاده طهرانی<sup>۴\*</sup>، استادیار، پژوهشگاه هواشناس، وزارت علوم، تحقیقات و فناوری \* تهران، کدپستی: 1465774111 Tehrani@ari.ac.ir

## مقدمه

مردم، این اکوسیستم‌های ارزشمند دچار آسیب‌های فراوان و بعض‌اً غیرقابل جبران شده‌اند (از جمله نابودی تدریجی دریاچه ارومیه). از این رو پایش و مدیریت بهینه‌پنهانه‌های آبی کشور امری ضروری و مهم است. پایش مستمر منابع آبی توسط روش‌های متداول و بازدید زمینی و میدانی امری زمان بر، پرهزینه و عملاً غیرممکن است. از این رو ضروری است از منابع جدید و کارآمد برای این منظور استفاده شود. علم سنجش از دور که به استخراج و تفسیر اطلاعات از تصاویر ماهواره‌ای و هوایی می‌پردازد، یکی از منابع جدید برای پایش مناطق آبی است. به علت پوشش وسیع از مناطق مختلف، فرمت رقومی تصاویر، تنوع توان تفکیک مکانی، زمانی، رادیومتریکی و طیفی یکی از منابع کارآمد برای پایش منابع آبی کشور محسوب می‌شود. استخراج اطلاعات از تصاویر سنجش از دوری به روش‌های کارآمد و نوین نیازمند است. علاوه بر این، به دلیل وجود انواع پنهانه‌های آبی نظیر رودخانه، دریا، دریاچه، تالاب و غیره، استخراج اطلاعات از تصاویر سنجش از دور برای هر یک نیازمند روند خاص و منحصر است.

پیشرفت‌های اخیر در دانش و فناوری سنجش از دور موجب بکارگیری گسترده‌آن در پایش و مدیریت پنهانه‌های آبی شده است. درنتیجه، خواص هیدرولوژیکی با مقیاس‌های مکانی و زمانی مناسب قابل استخراج می‌باشد که موجب بهبود روش‌های مدل‌سازی پایش کیفیت آب در پنهانه‌های مختلف آبهای داخلی و خارجی شده است [۵]. این امر در نهایت موجب ردبایی سریع و بهنگام مخاطرات محیط زیستی حاصل از افزایش بار مواد مغذی، آلاینده‌های سمی، فلزات سنگین، شکوفندگی مضر جلکی، تغییرات میزان کلروفیل و همچنین میزان شوری و درجه حرارت و غیره، توسط فرسته‌های فراهم شده با سنجش از دور می‌شود.

در این مقاله، نحوه بکارگیری دانش و فناوری سنجش از دور در پایش و مدیریت پنهانه‌های آبی مورد بررسی قرار می‌گیرد. ضمن بررسی انواع آلاینده‌های پنهانه‌های آبی، سکوها و سنجنده‌ها و همچنین روش‌ها و الگوریتم‌های سنجش از دوری مناسب برای پایش پنهانه‌های آبی مورد بررسی و تجزیه و تحلیل قرار می‌گیرد. انواع آلاینده‌های آب و استانداردهای موجود هر ماده خارجی که به آب اضافه شده و کیفیت فیزیکی، شیمیایی، یا بیولوژیکی آن را به نحوی تغییر دهد که برای مصرف انسان، سایر موجودات و کشاورزی مضر باشد و حتی با تصفیه عادی نیز نتوان آن را برای آشامیدن مناسب ساخت، جزء آلوده‌کننده‌های آب در نظر گرفته می‌شود [۳، ۶، ۷]. براساس دستورالعمل کیفیت آب آشامیدنی سازمان بهداشت جهانی در سال ۲۰۱۱ [۷]، انواع آلوده‌کننده‌های آب شامل پسماندهای

این سوال که متابع کرده زمین قادر به تأمین چه تعداد از جمعیت انسانی می‌باشند، همواره موضوع مورد بحث اغلب متخصصین بوده است. امروزه آشکار شده که یکی از مهم‌ترین عوامل محدودکننده تولید مواد غذایی، کمبود منابع آب است [۱]. بر اساس برآوردها، جمعیت جهان در سال ۲۰۵۰ بالغ بر ۹/۱ میلیارد نفر خواهد بود که از این مقدار حدود ۶۹٪ شهرنشین هستند. با افزایش جمعیت شهری و تسرب الگوهای مصرف ناپایدار، منابع محدود کرده زمین بیش از پیش تحت فشار قرار خواهد گرفت. از سوی دیگر، در بسیاری از مناطق جهان، آلودگی‌ها به سرعت در حال از بین بردن منابع آب در دسترس است. هر لیتر از فاضلاب آلوده، می‌تواند حجم زیادی از پنهانه‌های آبی پذیرنده آن را آلوده سازد [۲]. علاوه بر تغییر الگوی مصرف و افزایش هدر رفت منابع آبی، تغییرات اقلیمی نیز اثرات مستقیم و غیرمستقیم بر روی کل چرخه هیدرولوژیکی خواهد داشت. از آن جمله می‌توان به تغییر توزیع مکانی و زمانی منابع آب در کشورها، کاهش دسترسی آن‌ها به منابع آب، کاهش تغذیه آبخوان‌ها و کاهش کیفیت منابع آب اشاره کرد [۳]. با توجه به قرار گرفتن کشور ایران در کمرنگ خشک و نیمه‌خشک کرده زمین، تنزل کمیت و کیفیت منابع آب در دسترس موجب ایجاد مشکلات اقتصادی، اجتماعی، محیط‌زیستی و حتی سیاسی خواهد شد. بطور کلی مناطق خاورمیانه و آفریقای شمالی به اثرات تغییرات اقلیم بر روی منابع آبی حساس است. تغییرات اقلیم به همراه رشد جمعیت، اثرات منفی بسیاری بر روی منابع آب مناطق مذکور دارد [۴].

کشور ایران دارای پنهانه‌های آبی متعدد و متنوع شامل دریا، دریاچه، رودخانه، تالاب و غیره است که به پنهانه‌های داخلی، شمالی و جنوبی تقسیم می‌شود. متأسفانه بخش عمده پنهانه‌های آبی کشور ایران در طول دهه‌های اخیر در معرض آسیب و تخریب جدی قرار گرفته است. مطالعات نشان می‌دهد که روند افت کیفیت منابع آب در کشور ایران طی دهه ۱۳۹۲-۱۳۸۳ تشدید یافته است. علاوه بر رشد جمعیت، مهاجرت و شهرنشینی، افزایش پساب‌ها، وجود خشکسالی و تغییر اقلیم، کاهش رواناب‌ها، تأثیر شدیدی بر کاهش کیفیت منابع آب داشته‌اند. افزایش بدون برنامه‌بریزی سطح زیر کشت محصولات کشاورزی و عدم توجه به مدیریت زهاب‌ها، موجب آلوده شدن سالانه منابع آب کشور با در حدود ۲۷ میلیارد زهاب کشاورزی شده است. امروزه، کشورهای پیشرفته با استفاده از ابزارهای موجود خود سعی بر حفظ و نگهداری پنهانه‌های آبی ارزشمند خود دارند. در کشور ما، به دلیل عدم توجه مسئولین و عامه

پارامتر	گروه ۱ (ماهیان گرم آبی)	گروه ۲ (ماهیان سردآبی)	حداکثر نمونه برداری و تناوب اندازه‌گیری	توضیحات
جامدات معلق (میلی گرم لیتر)	کمتر از ۲۵	کمتر از ۲۵	ماهانه	مقادیر میانگین حساسی غلط هستند و برای جامدات معلق همراه با مواد شیمیایی مضر کاربرد ندارند.
BOD <sub>5</sub> (میلی گرم لیتر)	کمتر از سه	کمتر از شش	ماهانه	برای دریچه‌ها و تالاب‌ها بر اساس غلط در لایه سطحی است.
فسفر کل (میلی گرم لیتر)	کمتر از ۰/۰۶۵	کمتر از ۰/۱۳	ماهانه	آزمایش طعم تنها در محلی که احتمال وجود ترکیبات فنلی است باید انجام شود.
ترکیبات فنلی (میلی گرم لیتر)	کمتر از ۰/۰۴	کمتر از ۰/۰۴	ماهانه	آزمایش بصری باید به طور منظم یک نوبت در ماه و ترجیحاً همراه با آزمایش مزه در محالی که احتمال وجود هیدروکربن‌ها است، انجام شود.
هیدروکربن‌های نفتی (میلی گرم بر لیتر)	۰/۰۱	۰/۰۱	ماهانه	امکن است غلفات آمونیاک بیونیزه نشده افزایش جزئی در طول روز داشته باشد (برای محاسبه آنونیاک بیونیزه نشده لازم است درجه حرارت و PH آب در محل اندازه‌گیری شوند).
آمونیاک (بیونیزه نشده) (میلی گرم بر لیتر)	کمتر مساوی ۰/۰۲۵	کمتر مساوی ۰/۰۲۵	ماهانه	غلفات بالاتر کلرین کل در PH های بالاتر از شش قابل قبول است.
آمونیوم کل (میلی گرم لیتر)	کمتر مساوی ۰/۰۰۵	کمتر مساوی ۰/۰۰۵	ماهانه	
کلرین باقیمانده (میلی گرم بر لیتر)				

اکسیژن خواه، عوامل بیماری‌زا، کودهای شیمیایی، ترکیبات آلی ستتری (مصنوعی)، ترکیبات نفتی،<sup>۶</sup> ترکیبات آلی طبیعی، مواد شیمیایی معدنی و کانی، عناصر نادر، شوری، مواد رادیو اکتیویته و ۱۱) گرماست.

هدف از بررسی کیفیت آب با استفاده از سنجش از دور،  
شناسایی آن دسته از متغیرهای کیفی آب است که بر روی جانداران  
تأثیرگذار بوده و به نحوی حیات آن‌ها را به خط می‌اندازد. از آنجا  
که روش‌های سنجش از دوری این متغیرها را به صورت کمی  
بررسی می‌نماید، اطلاع از حدود آستانه خطر این متغیرها در  
استانداردهای کیفیت آب بسیار ضروری است. تاکنون  
دستورالعمل‌های مختلفی برای تبیین متغیرهای کیفیت آب در  
جهان تهیه و تنظیم شده است [۹]. جدول ۱ استاندارد کیفیت  
آب برای ماهیان گرم آبی و سرد آبی را که توسط سازمان  
محیط‌زیست ایران تهیه و تنظیم شده است نمایش می‌دهد.  
همان‌طور که مشاهده می‌شود، هر متغیر کیفی آب دارای محدوده  
استاندارد مختص به خود است که این مقادیر ممکن است در  
استانداردهای کشورهای دیگر کمی متفاوت باشد. به منظور استفاده  
از تصاویر سنجش از دور برای پایش کیفیت آب بهتر است  
متخصصان این استانداردها را در نظر داشته باشند.

**جدول ۱**- استاندارد کیفیت آب برای حفاظت محیط‌زیست (اکوییتم‌های آبی) سازمان محیط‌زیست (مطالق جدول دستورالعمل سازمان محیط‌زیست) [۱۰، ۱۱].

## کاربرد انواع سکوها و سنجنده‌های سنجش از دور در پایش آلودگی منابع آب

مکانی پایین‌تر، کاربرد زیادی دارد. حاجی قلی‌زاده و همکاران، از مهم‌ترین سنجنده‌های هوایی مورد استفاده در ارزیابی کیفیت آب در مطالعات مختلف به HYDICE AVIRIS، های‌مپ<sup>۱۷</sup>، ای‌پکس<sup>۱۸</sup>، کسی<sup>۱۹</sup> ۱۵۰۰، DAIS EPS-H، آیس<sup>۲۰</sup> و HySpex از سنجنده‌های فراتیفی و نیز MIVIS و Daedalus از سنجنده‌های چندطیفی اشاره کردند [۱۳]. براساس تحقیقات انجام شده توسط نویسنده‌گان مقاله، تفاوت چنانی در ایجاد ارتباط میان مشاهدات سنجش از دور و متغیرهای کیفیت آب میان سنجنده‌های هوایی و فضایی مشاهده نمی‌شود. از این‌رو، در بخش بعد انواع روش‌های سنجش از دور برای پایش آلودگی منابع آب بدون تفکیک سکوهای هوایی و فضایی ارائه خواهد شد.

در تحقیقات پیشین از انواع سکوها اعم از هوایی و فضایی برای حمل سنجنده‌ها برای پایش آلودگی آب استفاده شده‌است. تفاوت میان سنجنده‌های هوایی و فضایی از زاویه دیدهای مختلف در جدول ۲ نمایش داده شده است. همان‌طور که مشاهده می‌شود عوامل زیادی از قبیل ویژگی‌های منطقه مورد مطالعه برای انتخاب سنجنده هوایی یا فضایی اهمیت دارد.

بررسی منابع مطالعاتی نشان داد که سنجنده TM پیش از دیگر سنجنده‌ها مورد داشتاده قرار گرفته است. برای رودخانه‌ها و سایر مناطق مورد مطالعه که به توان تفکیک طیفی و مکانی بالاتری احتیاج دارد، آلوس/ای‌وی‌ان‌آی‌آر<sup>۲۱</sup>-۲۰، ایکونوس<sup>۲۲</sup> از سنجنده‌های فضایی و تصاویر فراتیفی کسی<sup>۲۳</sup> و آیس از سنجنده‌های هوایبرد برای تعیین کدورت و مواد معلق استفاده شده است. روش تفسیر تصاویر و ارزیابی کدورت نیز از رگرسیون خطی ساده تا رگرسیون چندگانه غیرخطی، تحلیل اجزای اصلی<sup>۲۴</sup> و شبکه‌های عصبی بهبود یافته است.

جدول ۲- تفاوت سنجنده‌های قابل نصب بر روی سکوهای فضایی و هوایی [۱۲].

هوایی	فضایی	متغیر
کمتر از ۵ متر	از نیم متر تا چند کیلومتر	توان تفکیک مکانی
پانکروماتیک-ابرطیفی	پانکروماتیک-ابرطیفی	توان تفکیک طیفی
بسته به زمان پرواز (چند روز تا چندسال)	چند روز	توان تفکیک زمانی (دوره بازدید)
قبل هر پرواز	قبل پرتاب-سالانه	کالیبراسیون
میانگین ۳۵۰ دلار در مایل	برای غیرتجاری رایگان- برای سنجنده‌های تجاری بیش از ۵۰ دلار در کیلومتر مریع	هزینه

- 17. HyMap
- 18. APEX
- 19. CASI-1500
- 20. AISA
- 21. ALOS/AVNIR-2
- 22. IKONOS
- 23. CASI
- 24. Principal Component Analysis

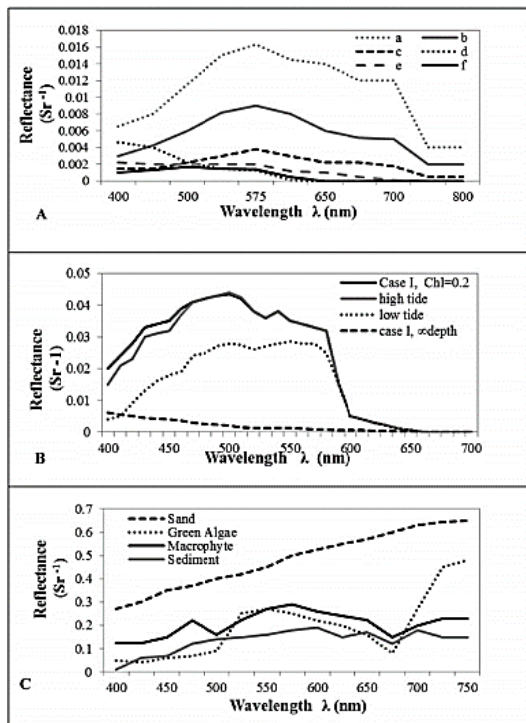
استفاده از تکنیک‌های سنجش از دور غیرفعال برای پایش پهنه‌های آبی از دهه ۱۹۷۰، آغاز شد. به عنوان نمونه ماهواره لندست<sup>۱</sup> به منظور پایش عوارض محیطی مورد استفاده قرار گرفت. این ماهواره دارای باندهای قرمز، آبی و سبز با توان تفکیک مکانی ۱۸۵ متر بود. پس از آن، ماهواره‌های لندست ۲ و ۳ نمونه‌های موفق دیگر سکوهای مناسب برای پایش محیطی و به طور خاص، منابع آب بودند. با ارسال لندست ۴ در سال ۱۹۸۲ سنجنده‌ها از نظر توان تفکیک طیفی و مکانی بهبود قابل ملاحظه‌ای یافتند. امروزه با پیشرفت سنجنده‌های ماهواره‌ای و هوایی، استفاده از آن‌ها در پایش منابع آب بیش از پیش شده است. به طور کلی سنجنده‌های مورد استفاده برای پایش منابع آب در بازده‌های مختلف طول موج تعریف شده‌اند که عبارتند از:

- (۱) رادار (۱-۳۰ سانتی‌متر)،
- (۲) مایکروویوهای غیرفعال (۸-۲ میلی‌متر)،
- (۳) باند حرارتی (۱۴-۸ میکرومتر)،
- (۴) مادون قرمز میانی (۳-۵ میکرومتر)،
- (۵) مادون قرمز نزدیک (۱-۳ میکرومتر)،
- (۶) مرئی (۳۵۰-۷۵۰ نانومتر) و
- (۷) فرابنفش (۳۵۰-۲۵۰ نانومتر) [۱۲].

بر اساس تحقیق انجام شده توسط چانگ و همکاران، سنجنده‌های فضایی زیادی برای پایش پارامترهای کیفیت آب استفاده شده‌اند که به طور خاص می‌توان به استر<sup>۲</sup>، ترا<sup>۳</sup>، مدیس<sup>۴</sup>، ای وی اچ آر<sup>۵</sup>، اسپات<sup>۶</sup>، لندست تی ام، آیکونوس<sup>۷</sup>، ای آر اس<sup>۸</sup>، سی‌ویفرز<sup>۹</sup>، کوئیکبرد<sup>۱۰</sup>، مریس<sup>۱۱</sup> و غیره اشاره کرد [۱۲]. سنجنده‌های مختلف توانایی استخراج پارامترهای کیفیت آب از قبیل کلروفیل نوع ۲a<sup>۱۲</sup>، نیترات<sup>۱۳</sup>، دما، ذرات معلق کل<sup>۱۴</sup>، کربن آلی کل<sup>۱۵</sup> و مواد شیمیایی<sup>۱۶</sup> را دارد. همچنین، سنجش از دور هوایی در مطالعات ارزیابی کیفیت آب بهخصوص در پهنه‌های کوچک‌تر نیازمند تصاویر با توان تفکیک

- 
1. Landsat
  2. ASTER
  3. Terra
  4. MODIS
  5. AVHRR
  6. SPOT
  7. IKONOS
  8. ERS-2
  9. SeaWiFs
  10. Quickbird
  11. MERIS
  12. Chlorophyll-a
  13. Nutrient
  14. Total Suspended Sediment
  15. Total organic carbon
  16. Microcystin

گیاهان آوندی آبزی، پاتوئن‌ها و روغن‌ها. همه این آلودگی‌ها، به غیر از مواد شیمیایی و پاتوئن‌ها، انرژی خورشیدی منعکس شده و یا تابش حرارتی از آبهای سطحی را تعییر می‌دهد که با روش‌های سنجش از دوری قابل اندازه‌گیری می‌باشد. اکثر مواد شیمیایی و پاتوئن‌ها مستقیماً ویژگی‌های طیفی یا حرارتی آبهای سطحی را تعییر نمی‌دهد. بنابراین، آن‌ها را تنها می‌توان به صورت غیرمستقیم از اندازه‌گیری‌های سایر پارامترهای کیفیت آب تأثیرپذیر به وسیله این مواد شیمیایی استنتاج نمود. به عنوان نمونه شکل ۲، نقشه رسوبات بدست آمده از تصاویر لندست بر دریاچه چیکات را نشان می‌دهد. همانطور که در تصویر مشاهده می‌شود، غلظت‌های مختلف (میلی‌گرم بر لیتر) رسوبات معلق در این دریاچه با استفاده از سنجش از دور قابل تشخیص بوده و می‌توان نقشه طبقه‌بندی غلظت و توزیع مکانی این رسوبات را استخراج کرد. این نقشه‌ها کاربرد بسیار زیادی در مدیریت پهنه‌های آبی، پیش‌بینی و پایش آلودگی آن‌ها خواهد داشت.



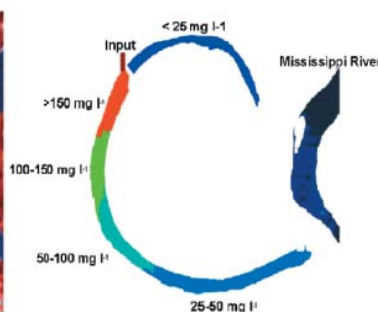
شکل ۱- امضای طیفی انواع آبهای با میزان مختلف ذرات معلق [۱۲].

متغیر	فضایی	هوایی
ثبات	بالا	پایین
زیاد	زیاد	کم
يونش سطح	جهانی- منطقه‌ای	محلي- منطقه‌ای
اثر اتمسفر	+++++	++

## انواع روش‌های سنجش از دور برای پایش آلودگی منابع آب

مواد موجود در آبهای سطحی می‌تواند به طور قابل توجهی ویژگی‌های بازپرداخت آن‌ها را تعییر دهد [۳۸، ۳۹]. روش‌های سنجش از دوری بسته به توانایی‌شان این تعییرات را اندازه‌گیری نموده و با استفاده از مدل‌های تجربی یا تحلیلی مدل‌سازی می‌کند. طول موج بهینه مورد استفاده برای اندازه‌گیری یک پارامتر کیفیت آب وابسته به ماده مورد اندازه‌گیری، غلظت آن و خصوصیات سنجنده است. شکل ۱ بازتابندگی آبهای مختلف با شرایط مختلف را نشان می‌دهد. در قسمت (A) بازتابندگی انواع مختلف آب در مقایسه با هم نشان داده شده است. نوع a آبهایی با غلظت رسووب و مواد آلی محلول رنگی بسیار بالا، نوع b آبهایی با غلظت رسووب و مواد آلی محلول رنگی بالا، نوع c آبهایی با غلظت رسووب و مواد آلی محلول رنگی متوسط، نوع d آبهایی شفاف، نوع e آبهایی با غلظت رسووب و کلروفیل متوسط و نوع f آبهایی با غلظت رسووب و مواد آلی محلول رنگی هستند. در قسمت (B) بازتابندگی انواع آب در جزء مدبلا و پایین نشان داده شده است. قسمت (C) بازتابندگی چهار جزء مختلف آب را نشان می‌دهد. همان‌طور که مشاهده می‌شود ذرات معلق و مواد آلی محلول سبب تعییر امضای طیفی آب خواهد شد که در صورت استفاده از سنجنده مناسب (با باندهای طیفی مناسب برای تفکیک آب شفاف از آلوده) امکان شناسایی و استخراج آن متغیرها امکان‌پذیر است.

در حالت کلی می‌توان گفت فاکتورهای اصلی تأثیرگذار بر کیفیت آب در پیکرهای آبی عبارت‌اند از: رسوبات معلق (آلودی)، جلک (کلروفیل‌ها، کاروتینوئیدها)، مواد شیمیایی (مواد مغذی، آفتکش‌ها، فلزات)، مواد آلی حل شده، انتشار حرارتی،



شکل ۲- تصویر سنجنده TM ماهواره لندست از دریاچه چیکات، آرکانزاس (چپ) و تصویر به دست آمده (راست) نشان‌دهنده نقشه طبقه‌بندی شده رسوبات معلق بر اساس رایانس در تصویر سنجنده TM [۱۴].

نظیر شبکه های عصبی، الگوریتم ژنتیک و سیستم های فازی برای پایش پارامترهای کیفیت آب مورد استفاده قرار گرفته اند. روش های تجربی وابسته به مشاهدات زمینی هستند و تنها در مناطق با وسعت اندازک جوابگوی نیازها خواهند بود. از این رو محققان به دنبال توسعه روش های قابل انتقال به مناطق دیگر هستند.

برخلاف روش های تجربی، در روش های تحلیلی از مشخصات اپتیکی آب استفاده می شود. در این دسته از روش ها مشخصات فیزیکی آب و نحوه رفتار آب با املاح مختلف به عنوان ورودی روش، مورد استفاده قرار می گیرند. این موضوع سبب می شود که روش ها قابلیت انتقال از یک مکان به مکان دیگر را داشته باشند. برخی دیگر از روش های استخراج پارامترهای کیفیت آب (نیمه تجربی/ نیمه تحلیلی) براساس ترکیب روش های تجربی و تحلیلی استوار هستند. به عبارت بهتر این دسته روش ها هم از مشاهدات زمینی و هم از مشخصات اپتیکی استفاده می کنند. جدول ۳ متغیرهای کیفی آب که توسط روش های تجربی، تحلیلی و نیمه تجربی/ نیمه تحلیلی قابل اندازه گیری هستند را نمایش می دهد.

جدول ۳- متغیرهای قابل اندازه گیری از روش های تجربی، تحلیلی و نیمه تجربی/ نیمه تحلیلی [۱۲].

روش های نیمه-تجربی/ نیمه تحلیلی	روش های تحلیلی	روش های تجربی
A کلروفیل نوع A، فیتوپلانکتون ها، ذرات معلق کل، علق کل، گل آводگی، اکسیژن محلول	کلروفیل نوع A، فیتوپلانکتون ها، ذرات معلق کل، گل آводگی، اکسیژن محلول	کلروفیل نوع A، رنگدانه، ذرات معلق کل، گل آводگی، اکسیژن محلول، فسفر نیتروژن
روش نیمه تجربی [۲۵] روش نیمه تحلیلی [۲۶]	روش تحلیلی خلاص [۲۳] مدل مستقیم و معکوس بیوپتیکال [۲۴]	رگرسیون آماری شبکه های عصبی [۱۹] الگوریتم ژنتیک [۲۰] روش های فازی [۲۱] [۲۲]

به طور کلی افزایش یا کاهش متغیرهای کیفیت آب بر روی رفتار باندهای طیفی اثر گذار است. به عنوان مثال آب به طور کلی در محدوده های مرئی و مادون قرمز نزدیک جذب بالایی دارد، اما افزایش رسوبات معلق در آب سبب افزایش بازتابندگی در این محدوده های طیفی خواهد شد. رفتار هریک از متغیرها بر روی باندهای طیفی و همچنین باندهای مناسب برای پایش آنها در جدول ۴ آورده شده است.

همان طور که اشاره شد، روش های مختلفی برای استخراج متغیرهای کیفیت آب از تصاویر ماهواره ای وجود دارد. یکی از متدائل ترین روش های مورد استفاده، روش های تجربی هستند. در این روش ها با استفاده از معادلات رگرسیون، میان مشاهدات

ریچی و همکاران با استفاده از مطالعات در محل نتیجه گرفته که طول موج های بین ۷۰۰ و ۸۰۰ نانومتر برای تعیین رسوبات معلق در آب های سطحی بسیار مناسب هستند [۱۵]. افزایش در غلظت CDOM، به طور عمده روی مقادیر بازتابی در ناحیه آبی و سبز طیف (به ویژه زیر ۵۰۰ نانومتر) تأثیر می گذارد و جذب آن با کاهش طول موج به صورت نمایی افزایش می یابد. مدل های نیمه تحلیلی برای سنجنده های SeaWiFS و مدیس که در آن ها خصایب جذب CDOM به طور مستقیم و مستقل متفاوت از بازتاب های سنجش از دوری هستند، توسعه داده و بکار گرفته شده اند. این مدل های نیمه تحلیلی بر پایه معادلات انتقال تابش و همچنین ساده سازی تابش و میدان نوری زیر آب است.

اوج بازتاب نزدیک ۷۰۰ نانومتر و نسبت آن به بازتاب در ۷۰ نانومتر برای توسعه الگوریتم های گوناگون برای بازتابی کلروفیل نوع a در آب های گل آسود مورد استفاده قرار گرفته است [۱۶]. گیتسون رفتار اوج بازتاب در نزدیکی ۷۰۰ نانومتر را مطالعه نمود و نتیجه گرفت که اوج بازتاب در این طول موج برای دور سنجی آب های داخلی و ساحلی به ویژه برای اندازه گیری غلظت کلروفیل مهم است [۱۶]. همان و جردن به این نکته رسیدند که محدوده های طیفی در ۶۴۵-۶۳۰ نانومتر، ۶۶۰-۶۷۰ نانومتر، ۶۸۷-۶۸۰ نانومتر، و ۷۰۰ تا ۷۳۵ نانومتر مناطق بالقوه ای هستند که در آن ها می توان از مشتقات اول برای برآورد غلظت کلروفیل استفاده نمود [۱۷]. دکر و همکاران (متذکر شده اند که ویژگی های پراکنش و جذب کلروفیل نوع a را می توان زمانی که بیش از یک باند استفاده می شود، مورد مطالعه قرار داد [۱۸]. هدف اصلی در پایش کیفیت منابع آب سطحی با استفاده از سنجش از دور ایجاد ارتباط میان پارامترهای تجربی/ تحلیلی کیفیت آب و مشاهدات سنجش از دور است. به طور کلی برای ایجاد این ارتباط سه دسته روش کلی وجود دارد:

۱) روش های تجربی <sup>۲۵</sup>،

۲) روش های تحلیلی <sup>۲۶</sup> و

۳) روش های نیمه تجربی/ نیمه تحلیلی (تلفیقی).

در ادامه توضیحات مربوط به هریک از این روش ها ارائه خواهد شد. چالش اصلی در روش های تجربی، ایجاد ارتباط میان مشاهدات سنجنده های ماهواره ای و متغیرهای کیفیت آب است. برای ایجاد این ارتباط از رگرسیون های خطی و چند متغیره به همراه مشاهدات زمینی استفاده می شود. در رگرسیون های خطی چند متغیره یا غیرخطی، مشاهدات زمینی به عنوان متغیرهای وابسته و مشاهدات سنجنده های سنجش از دور به عنوان متغیرهای مستقل در نظر گرفته می شوند. اخیراً روش های نوینی

پایش کیفیت پهنه‌های آبی با استفاده از تصاویر سنجش از دور هوایی و ماهواره‌ای

جدول ۵- روابط تجربی مورد استفاده برای پایش متغیرهای کیفیت آب.

مرجع	رابطه استفاده شده
[۳۶]	$T = a \times T4 + b \times (T4 - T5) + c \times (T4 - T5) \times \sec\theta - d$
[۳۷]	$Chl A = 11.18 \times \rho_{TM1} - 8.96 \rho_{TM2} - 3.28 mg/m^3$
[۳۷]	$SD = 8.01 \frac{\rho_{TM1}}{\rho_{TM2}} - 8.27$
[۳۸]	$T = Coef.A \pm (Coef.B \times R)$
[۳۹]	$Ch \left( \frac{ug}{l} \right) = m \left( \frac{R_{700}}{R_{670}} \right)^2 + n \left( \frac{R_{700}}{R_{670}} \right) + l$
[۳۹]	$TSM \left( \frac{mg}{l} \right) = m \left( \frac{R_{850}}{R_{550}} \right)^2 + n \left( \frac{R_{850}}{R_{550}} \right) + l$
[۳۹]	$CDOM (m^{-1}) = m \left( \frac{R_{440}}{R_{575}} \right)^2 + n \left( \frac{R_{440}}{R_{575}} \right) + l$
[۳۹]	$Salinity (ppt) = a \ln(CDOM) + b$
[۳۹]	$Turbidity (NTU) = m \left( \frac{R_{750}}{R_{700}} \right)^2 + n \left( \frac{R_{750}}{R_{700}} \right) + l$
[۴۰]	$WQP = a + b \times b_2 + c \times b_3 + d \times b_4 + e \times b_5$
[۳۵]	$\ln(Chl) = 0.195 \times B_{16} + 0.667$
[۳۵]	$\ln(SD) = -1.559 \times \ln\left(\frac{B_4}{B_1}\right) - 0.332$
[۳۵]	$\ln(TN) = 1.046 \times \ln(B_{16}) - 1.619$
[۳۵]	$\ln(TP) = 0.068 \times \ln(B_4) - 5.274$
[۳۵]	$\ln(Chl) = 1.515 \times \ln(B_2) + 2.357 \times \ln(B_9) - 0.286 \times \frac{\ln(B_3 - B_1)}{B_2} - 8.415$
[۳۵]	$\ln(SD) = -2.236 \times \ln\left(\frac{B_4}{B_{10}}\right) + 1.917 \times \frac{(B_1 + B_2)}{B_3} + B_4 - 1.400$
[۳۵]	$\ln(TN) = 0.821 \times \ln(B_2) + 1.927 \times \ln(B_9) - 0.458 \times \frac{\ln(B_3 - B_1)}{B_2} - 6.734$
[۳۵]	$\ln(TP) = 0.075 \times \ln(B_4) + 0.022 \times \frac{B_3 - B_1}{B_2} - 5.065$

که متغیرهای این روابط به شرح ذیل تعریف می‌شوند:

ضریب رگرسیون	مواد معلق برووی آب
ضریب رگرسیون	ماده رنگی محلول در آب
ضریب رگرسیون	نمک
کلروفیل نوع A	T
باند طیفی با مرکز ۷۰۰ نانومتر	باند طیفی با مرکز ۶۷۰ نانومتر

ماهواره‌ای و شاخص‌های اندازه‌گیری شده ارتباط برقرار می‌شود. نمونه‌ای از معادلات مورد استفاده در منابع مختلف در جدول ۵ نمایش داده شده‌اند. همان‌طور که مشاهده می‌شود از معادلات مختلف و متنوعی برای ایجاد ارتباط میان متغیرها و باندهای طیفی استفاده شده است. این موضوع نشان‌دهنده اهمیت انتخاب نوع رابطه ریاضی مورد استفاده برای استخراج اطلاعات دقیق است.

جدول ۴- تفاوت متغیرهای کیفیت آب و نحوه اثر برووی باندهای طیفی و باندهای مناسب برای شناسایی.

متغیرهای کیفیت آب	نحوه اثر برووی باندهای طیفی	باندهای طیفی مناسب برای شناسایی
رسوبات معلق [۲۷، ۱۵]	افزایش بازتابندگی در اثر افزایش رسوبات معلق	طول موج‌های بین ۷۰۰ و ۸۰۰ نانومتر و باندهای مرئی و مادون قرمز نزدیک
جلبک [۲۹]	افزایش بازتاب در برخی باندها و کاهش در برخی دیگر	در اکثر طول موج‌ها با افزایش غلظت کلروفیل و کاهش بازتاب در مناطق ۵۷۵ تا ۶۸۰ نانومتر (قبلاً باند باریک در "الب" قرمز" طیف مرئی)
گیاهان آوندی آبزی [۳۰]	افزایش بازتاب نسبت به آب/ افزایش و کاهش بازتاب نسبت به گیاهان	مادون قرمز نزدیک
کلروفیل نوع a [۳۱] [۳۲]	جذب / بازتاب	جذب قوی بین ۴۵۰ تا ۴۷۵ نانومتر (آبی) و در ۵۷۰ نانومتر (قرمز)، و حداکثر بازتاب در ۵۵۰ نانومتر (سبز) و نزدیک ۷۰۰ نانومتر (مادون قرمز نزدیک)
مواد آبی محلول رنگی [۳۳]	جذب	ناحیه آبی و سبز
فسفر [۳۵]	بازتاب	سبز- مادون قرمز نزدیک
فسفر [۳۵]	افزایش کلروفیل نوع a	باند آبی [۴۵-۰/۰-۵۱ متر]، باند سبز [۵/۰-۰/۶-۷ متر] و ترکیب نسبت باندی قرمز [-۰/۰-۰/۷-۷ متر] و سبز [۵/۰-۰/۶ متر]

۳. عمق دیسک سچی یکی از روش‌های اندازه‌گیری کدورت آب است که با استفاده از یک دیسک استاندارد با علامت خاص، عمقی را که این دیسک در آب دیگر قابل مشاهده نباشد اندازه‌گیری می‌کند.

دریاهای آزاد، دریای داخلی، رودخانه‌ها، تالاب‌ها و دریاچه‌ها می‌شوند. مهم‌ترین پهنه‌های آبی موجود در کشور و عوامل تهدیدکننده سلامت و پایداری آن‌ها در جدول ۶ نمایش داده شده‌اند. بر اساس این جدول و تحقیقات انجام‌شده در زمینه سنجش از دور، تصاویر هوایی و ماهواره‌ای توانایی پایش آводگی نفتی، نوسانات سطح آب، آводگی‌های میکروبی، تغییر خط ساحلی، تغییرات اقلیمی، پایش خشکسالی، افزایش شوری، تغییر مساحت پهنه، تغییرات کاربری‌ها، صدمه به سواحل مرجانی، رشد جلبکی، کلروفیل، فسفر، گیاهان آوندی، جلبک، مواد آلی، کدورت و غیره را دارند. بنابراین استفاده از سنجش از دور برای پایش آلاینده‌های پهنه‌های آبی کشور مفید خواهد بود.

بیشتر مطالعات کلروفیل موجود در آب براساس روابط تجربی میان تابش / بازتاب در باندهای باریک و یا نسبت‌های باندی و کلروفیل می‌باشند. بنابراین، داده‌های میدانی بهمنظور کالیبراسیون این روابط آماری و یا اعتبارسنجی مدل‌های توسعه‌یافته جمع‌آوری می‌شوند. اندازه‌گیری‌های انجام‌شده در محل [۲۹] افزایش بازتاب در اکثر طول موج‌ها را با افزایش غلظت کلروفیل و کاهش بازتاب در مناطق جذب طبی کلروفیل (۶۷۵ تا ۶۸۰ نانومتر) نشان می‌دهند. ژانگ و هان دریافتند که باندهای ۱ تا ۴ سنجنده OLI و ترکیبات آن‌ها همبستگی خوبی با غلظت کلروفیل نوع a دارند [۴۱]. کیم و همکاران (با استفاده از سنجنده OLI ماهواره لندست ۸ و بکارگیری باند ۲، ۳ و ۵ و یک نسبت باند ۲ به باند ۴ غلظت کلروفیل نوع a را اندازه‌گیری نمودند [۴۲]. با وجود اینکه برآورد کلروفیل با استفاده از تکنیک‌های سنجش از دور امکان‌پذیر است، اما مطالعات نشان داده‌اند که داده‌های طبی گسترده موجود در ماهواره‌های رایج (مانند LANDSAT و SPOT) اجازه تشخیص کلروفیل در آبهای دارای میزان بالای رسوبات معلق را به دلیل غلیظ سیگنال‌های طبی ناشی از این رسوبات نمی‌دهد.

جدول ۶- عوامل تهدیدکننده سلامت انواع پهنه‌های آبی کشور

قابل پایش با سنجش از دور	عامل تهدیدکننده	پهنه آبی
دریا و خلیج	آvodگی نفتی	
	تجاوز جانوران غیربومی	
	صيد غیرمجاز	
	نوسانات سطح آب	
	مهار آب رودخانه‌ها	
	آvodگی‌های مختلف (بسابهای صنعتی، شهری و کشاورزی، آvodگی حرارتی و غیره)	
	آvodگی میکروبی	
	تجمع رسوبات	
	تجمع قلات سنگین (کادمیوم، چیو، نیکل)	
	شکوفندگی جلبکی، پالانکتونی و عروس‌های دریایی	

باند طیفی با مرکز ۸۵۰ نانومتر	باند طیفی با مرکز ۵۵۰ نانومتر
باند طیفی با مرکز ۴۴۰ نانومتر	باند طیفی با مرکز ۵۷۵ نانومتر
دما در خشنده‌گی باند ۴ (۱۱/۳-۱۰/۳ میکرومتر)	بازتاب باند ۱ سنجنده TM
دما	بازتاب باند ۲ سنجنده TM
ضریب رگرسیون	غلظت کلروفیل a نوع
ضریب رگرسیون	ضرایب رگرسیون a, b, c, d
باند آام مادیس	زاویه زینت ماهواره
A	دما در خشنده‌گی باند ۵ (۱۳/۵-۱۱/۵ میکرومتر)
عمق دیسک سفر	مجموع فسفر
مجموع نیتروژن	

## محدودیت‌های سنجش از دور در پایش منابع آب

به طور کلی می‌توان گفت سنجش از دور روش مناسبی برای مطالعه تغییرات مکانی و زمانی متغیرهای کیفیت آب است. با این حال، محدودیت‌هایی وجود دارد که لازم است قبل از بکارگیری این روش مورد توجه قرار گیرد. این محدودیت‌ها عبارت‌اند از:

- نیاز به مشاهدات زمینی
- وجود ابر و عدم مشاهده سطح زمین
- عدم امکان پایش برخی متغیرهای کیفیت آب
- اثر اتمسفر بر روی تنتایج
- هزینه بالای اخذ داده‌های ابرطبیفی
- ویژگی‌های اپتیکی ضعیف برخی متغیرهای کیفیت آب
- مانند PH، نیتروژن کل، نیتروژن آمونیاک (NH3-N)، نیتروژن نیترات (NO3-N) و فسفر محلول (DP)

## بررسی آلاینده‌های پهنه‌های آبی ایران

پهنه‌های آبی ایران وسیع و متنوع هستند. از آنجا که آلاینده‌های هر پهنه‌ای خاص آن است، باید در هر پهنه جداگانه مورد بررسی قرار گیرد. روش پردازش تصاویر هوایی و فضایی برای استخراج هر نوع آلاینده ممکن است متفاوت باشد. از این‌رو، بررسی پهنه‌های آبی کشور و عوامل تأثیرگذار بر آن‌ها اهمیت دارد. پهنه‌های آبی در کشور ایران با توجه به خصوصیات سرزمین شامل خلیج‌ها و

پایش کیفیت پهنه‌های آبی با استفاده از تصاویر سنجش از دور هوایی و ماهواره‌ای

قابل پایش با سنجش از دور	عامل تهدیدکننده	پهنه آبی
	خشک شدن تالاب	
	کم شدن وسعت تالاب	
	کاهش فتووستر کیاهان آبی درنتیجه افزایش رسوب گذاری و کدورت آب	
	صدمه به سواحل مرجانی و زستگاه لاکپشت‌ها (تالاب‌های ساحلی)	

اعتبارسنجی روش‌های سنجش از دور در اندازه‌گیری کیفیت آب یکی از مهم‌ترین مباحث در زمینه پایش کیفیت منابع آب در سنجش از دور، سنجش اعتبار و صحت نتایج است. اعتبار و صحت نتایج در برخی تحقیقات به صورت مطلق اندازه‌گیری شده است. به عنوان مثال در [۴۳] به صورت مطلق اختلاف میان مقدار کلروفیل اندازه‌گیری شده از تصاویر ماهواره‌ای و مشاهدات زمینی برابر  $30/0\%$  میلی‌گرم بر مترمکعب است. علاوه بر این، در برخی از تحقیقات، همبستگی میان باندهای طیفی یا ویژگی‌های طیفی با شاخص کیفیت آب ملاک ارزیابی دقت است. بر اساس نتایج سایر تحقیقات، همبستگی میان مشاهدات ماهواره‌ای و زمینی بین  $60/0\%$  تا  $90/0\%$  است.

جدول ۷- صحت و دقت منابع مختلف در اندازه‌گیری متغیرهای کیفیت آب.

اعتبار نتایج	شاخص‌های اندازه‌گیری شده	روش مورد استفاده	منبع
صحت: $30/0$ میلی‌گرم بر مترمکعب صحت: $17/0$ گرم بر مترمکعب	کلروفیل مواد ارگانیک محلول	روش فیزیکی	[۴۳]
همبستگی باند قرمز $0/85$ : TM سنجنده $0/85$ : TM همبستگی باند سبز تا قرمز $0/78$ : TM سنجنده $0/78$ : TM	عمق دیسک سچی کلروفیل	روش تجربی (رگرسیون)	[۴۴]
همبستگی شاخص با مشاهدات زمینی: $79/0$ تا $80/0$	عمق دیسک سچی	روش تجربی (رگرسیون)	[۴۵]
همبستگی شاخص با مشاهدات زمینی: $77/0$ تا $80/0$	عمق دیسک سچی	روش تجربی (رگرسیون)	[۴۶]
همبستگی شاخص با مشاهدات زمینی: $74/0$ همبستگی شاخص با مشاهدات زمینی: $71/0$	ذرات معلق کلروفیل	روش تجربی (رگرسیون)	[۴۰]
همبستگی شاخص با مشاهدات زمینی: $95/40$	کلروفیل	روش تجربی (رگرسیون)	[۴۷]
همبستگی شاخص با مشاهدات زمینی: $67/0$	کلروفیل	روش تجربی (رگرسیون)	[۱۷]
ضریب تعیین ( $R^2$ ) برای آب شفاف: $70/0$ ضریب تعیین ( $R^2$ ) برای	مواد آلی محلول	نیمه تحلیلی / نیمه تجربی	[۴۸]

قابل پایش با سنجش از دور	عامل تهدیدکننده	پهنه آبی
	افزایش PH و COD	
	تعییرات خط ساحلی	
	سدسازی بی‌رویه بر روی رودهای تغذیه‌کننده	
	برداشت بیش از حد از منابع	
	پروژه‌های عمرانی	
	انتقال پساب‌های صنعتی و کشاورزی	
	تعییرات اقلیمی و استمرار خشکسالی	
	تعییر کاربری زراعی به دیگر کاربری‌ها	
	تخلیله فاضلاب و مواد زائد از سکوتگاه‌های اطراف به درون دریاچه	
	شکار غیرقانونی پرندگان و پستانداران	
	پرورش ماهی‌های غیربومی به صورت غیراصولی	
	افزایش جمعیت و گسترش شهرنشینی	
	فعالیت‌های غیراصولی تغیری مانند شکار، صید و غیره	
	ورود کودهای شیمیایی به دریاچه	
	ورود رسوبات زیاد و درنتیجه کاهش روزافرون عمق دریاچه	
	برداشت آب از سرچشمه‌ها	
	ورود فاضلاب انسانی، پساب‌های صنعتی، زهاب‌های کشاورزی و بیمارستانی، پساب‌های شیلات و پرورش ماهی و درنتیجه افزایش آلاینده‌های نظیر ازت و فسفر	
	رشد بی‌رویه کیاهان آبزی مانند جبلک و درنتیجه کاهش کیفیت آب به علت ورود نیترات	
	کاهش دی رودخانه و افزایش جزایر رسوبی به علت احداث سدها	
	رشد روزافرون گیاهان پیشرو	
	کاهش تولید آبزیان و تلفات به علت افزایش غلظت آلدگی	
	افزایش جمعیت	
	رشد زیاد کشاورزی	
	افزایش شوری	
	کاهش ذخیره نوع زیستی	
	اختلال در کارکرد به عنوان پناهگاه پرندگان مهاجر	
	قططعه قطعه شدن زیستگاه	
	پرغذایی (بوتوفیکاسیون) تالاب‌ها	
	کاهش جریان آب ورودی از طریق برداشت و خشکسالی	
	افزایش آسیب‌پذیری تالاب‌ها به واسطه تغییر کاربری سازگار اراضی اطراف آن‌ها	
	ایجاد اختلال و آشفتگی در هیدرودینامیک تالاب	
	وارد شدن صدمه به گونه‌های بومی و طبیعی گیاهی و جانوری از طریق معرفی گونه‌های بیگانه	
	کاهش اندازه و ذخیره ماهی‌ها در اثر ماهیگیری بیش از حد	
	مرگ سالانه تعداد زیادی ماهی و پرنده‌گان آبی در اثر عل ناشناخته	
	برهم خوردن منظر تالاب	

دریاچه

رودخانه

تالاب

- [8] Flanagan, P.J., *Parameters of Water Quality: Interpretation and Standards*, vol. 6: An Foras Forbartha. Information and Training Centre, 1986.
- [9] Estandard 822-F-18-001, 2018 Edition of the Drinking WaterStandards and Health Advisories, Office of Water U.S. Environmental Protection Agency Washington, DC, March 2018.
- [10] مؤسسه استاندارد و تحقیقات صنعتی ایران, آب آشامیدنی - استاندارد ملی شماره ۱۰۵۳، ویزگی‌های فیزیکی و شیمیایی, ۱۳۸۹.
- [11] سازمان حفاظت محیط زیست, معاونت محیط زیست انسانی, استاندارد کیفیت آب‌های ایران, ۱۳۹۵.
- [12] Chang, N.-B., Imen, S. and Vannah, B., "Remote Sensing for Monitoring Surface Water Quality Status and Ecosystem State in Relation to The Nutrient Cycle: A 40-Year Perspective," *Critical Reviews in Environmental Science and Technology*, vol. 45, 2015, pp. 101-166.
- [13] Gholizadeh, M., Melesse, A. and Reddi, L. "A Comprehensive Review on Water Quality Parameters Estimation using Remote Sensing Techniques," *Sensors*, vol. 16, 2016, p. 1298.
- [14] J. C. Ritchie, P. V. Zimba, and J. H. Everitt, "Remote Sensing Techniques to Assess Water Quality," *Photogrammetric Engineering & Remote Sensing*, vol. 69, pp. 695-704, 2003.
- [15] M. Oxford, "Remote Sensing of Suspended Sediments in Surface Waters," *Photogrammetric Engineering and Remote Sensing*, vol. 42, pp. 1539-1545, 1976.
- [16] Gitelson, A., "The Peak Near 700 nm on Radiance Spectra of Algae and Water: Relationships of its Magnitude and Position with Chlorophyll Concentration," *International Journal of Remote Sensing*, vol. 13, 1992, pp. 3367-3373.
- [17] Han, L. and Jordan, K.J., "Estimating and Mapping Chlorophyll-a Concentration in Pensacola Bay, Florida using Landsat ETM+ Data," *International Journal of Remote Sensing*, vol. 26, 2005, pp. 5245-5254.
- [18] Dekker, A.G., Malthus, T.J. and Seyhan, E., "Quantitative Modeling of Inland Water Quality for High-Resolution MSS Systems," *IEEE Transactions on Geoscience and Remote Sensing*, vol. 29, 1991, pp. 89-95.
- [19] Kishino, M., Ishimaru, T., Furuya, K., Oishi, T. and Kawasaki, K., "In-water Algorithms for ADEOS/OCTS," *Journal of Oceanography*, vol. 54, 1998, pp. 431-436.
- [20] Keiner, L.E. and Yan, X.-H., "A Neural Network Model for Estimating Sea Surface Chlorophyll and Sediments from Thematic Mapper Imagery," *Remote Sensing of Environment*, vol. 66, 1998, pp. 153-165.
- [21] Chang, N.-B., Daranpob, A., Yang, Y. J. and Jin, K.-R., "Comparative Data Mining Analysis for Information Retrieval of MODIS Images: Monitoring Lake Turbidity Changes At Lake Okeechobee, Florida," *Journal of Applied Remote Sensing*, vol. 3, 2009, p. 033549.
- [22] Wang, H., Fan, T., Shi, A., Huang, F. and Wang, H., "Fuzzy Integral Based Information Fusion for Water Quality Monitoring Using Remote Sensing Data," *International Journal of Communications, Network and System Sciences*, vol. 3, 2010, p. 737.

منع	روش مورد استفاده	شاخص‌های اندازه‌گیری شده	اعتبار نتایج
			آب کدر: ۰/۷۳
[۴۹]	روش تجربی (رگرسیون)	ذرات معلق	ضریب تعیین ( $R^2$ ): ۰/۹۴
[۵۰]	روش تجربی (شبکه عصبی)	کلروفیل	خطای محدود کمترین مربعات (RMSE): % ۹/۸

## نتیجه‌گیری

در این مقاله، به بررسی کاربردها، چالش‌ها و مزایای استفاده از تصاویر هوایی و فضایی سنجش از دور در پایش متغیرهای کیفیت آب و چالش‌های پنهان‌های آبی کشور پرداخته شد. نتایج نشان می‌دهند انتخاب سکو و سنجنده به منظور اخذ اطلاعات از پنهان‌های آبی، وابسته به نوع آن است. علاوه بر این، استفاده از روش‌های تجربی، تحلیلی و نیمه تجربی/ نیمه تحلیلی برای شناسایی متغیرهای کیفیت آب بسیار مورد توجه بوده است. مشاهدات نشان می‌دهند که معادلات رگرسیون خطی به دلیل سادگی و کارایی مناسب بسیار مورد توجه محققین قرار گرفته‌اند. اگرچه سنجش از دور محدودیت‌هایی برای پایش متغیرهای کیفی آب دارد، اما نتایج تحقیقات پیشین نشان می‌دهند که همیستگی بالایی میان آن متغیرها و مشاهدات سنجش از دور مشاهده می‌شوند. در نهایت، استفاده از دستورالعمل‌های تعیین کیفیت آب نظری دستورالعمل سازمان محیط‌زیست در مطالعات آتی سنجش از دور می‌تواند در دسته‌بندی کیفیت انواع آب‌ها نظری آشامیدنی، کشاورزی، صنعتی و تفرجی مفید واقع شود.

## مراجع

- [1] Rosegrant, M. W. Cai, X. and S. A. Cline, *World water and food to 2025: dealing with scarcity*: Intl Food Policy Res Inst, 2002.
- [2] Postel,S., *The Last Oasis: Facing Water Scarcity*: Routledge, 2014.
- [3] Viessman, W., Hammer, M. J.E. M. Perez, and P. A. Chadik, "Water Supply and Pollution Control," 1998.
- [4] Sowers, J., Vengosh, A. and Weinthal, E. "Climate Change, Water Resources, and the Politics of Adaptation in the Middle East and North Africa," *Climatic Change*, vol. 104, 2011, pp. 599-627.
- [5] Glasgow, H.B., Burkholder, J.M., Reed, R.E., Lewitus, A.J. and Kleinman, J.E., "Real-Time Remote Monitoring of Water Quality: A Review of Current Applications, and Advancements in Sensor, Telemetry, and Computing Technologies," *Journal of Experimental Marine Biology and Ecology*, vol. 300, 2004, pp. 409-448.
- [6] Goel, P. *Water pollution: causes, effects and control*: New Age International, 2006.
- [7] Gorchev, H.G., Ozolins, G., "Who Guidelines for Drinking-Water Quality," *WHO Chronicle*, vol. 38, No. 3, 2011, pp. 104-108.

- Pollution Monitoring in Cauvery River," *Remote Sensing in Water Resources; Rawat Publications: New Delhi, India*, 2005.
- [39] Bhattacharjee, A.M., Rundquist, D., Schalles, J. and Ramirez, L., "Application of Hyperspectral Remotely Sensed Data for Water Quality Monitoring: Accuracy and Limitation," *9<sup>th</sup> International Symposium on Spatial Accuracy Assessment in Natural Resources and Environmental Sciences, Accuracy 2010*, 2010.
- [40] Lim, J. and Choi, M., "Assessment of Water Quality Based on Landsat 8 Operational Land Imager Associated with Human Activities in Korea," *Environmental monitoring and assessment*, vol. 187, 2015, p. 384.
- [41] Zhang, C. and Han, M., "Mapping Chlorophyll-A Concentration in Laizhou Bay using Landsat 8 OLI Data," *Proceedings of the 36<sup>th</sup> IAHR World Congress, Netherland*, 2015.
- [42] Kim, S.-i., Kim, H.-c. and Hyun, C.-U., "High Resolution Ocean Color Products Estimation in Fjord of Svalbard, Arctic Sea Using Landsat-8 OLI," *Korean Journal of Remote Sensing*, vol. 30, 2014, pp. 809-816.
- [43] Giardino, C., Bresciani, M., Cazzaniga, I., Schenk, K., Rieger, P., Braga, F., Matta, E. and Brando, V. E., "Evaluation of Multi-Resolution Satellite Sensors for Assessing Water Quality and Bottom Depth of Lake Garda," *Sensors*, vol. 14, 2014, pp. 24116-24131.
- [44] Hellweger, F., Schlosser, P., Lall, U. and Weissel, J., "Use of Satellite Imagery for Water Quality Studies in New York Harbor," *Estuarine, Coastal and Shelf Science*, vol. 61, 2004, pp. 437-448.
- [45] Kloiber, S.M., Brezonik, P.L. and Bauer, M.E., "Application of Landsat Imagery to Regional-Scale Assessments of Lake Clarity," *Water Research*, vol. 36, 2002, pp. 4330-4340.
- [46] Olmanson, L.G., Bauer, M.E. and Brezonik, P.L., "A 2-year Landsat Water Clarity Census of Minnesota's 10,000 Lakes," *Remote Sensing of Environment*, vol. 112, 2008, pp. 4086-4097.
- [47] Allan, M.G., Hamilton, D.P., Hicks, B.J. and Brabyn, L., "Landsat remote sensing of chlorophyll a Concentrations in Central North Island Lakes of New Zealand," *International Journal of Remote Sensing*, vol. 32, 2011, pp. 2037-2055.
- [48] Xu, J., Fang, D., Gao, H., Zhang, C., Gao, Z., Xu, and Y. Wang, "Optical Models For Remote Sensing of Chromophoric Dissolved Organic Matter (CDOM) absorption in Poyang Lake," *ISPRS Journal of Photogrammetry and Remote Sensing*, vol. 142, 2018, pp. 124-136.
- [49] Lobo, F. L., Costa, M. p., Costa, and E. M. Novo, "Time-Series Analysis of Landsat-MSS/TM/OLI Images Over Amazonian Waters Impacted by Goldmining Activities," *Environ*, vol. 157, 2015, pp. 170-184.
- [50] Matthews, M.W., Bernard, S. and Winter, K., "Remote Sensing of Cyanobacteridominant Algal Blooms and Water Quality Parameters in Zeekoevlei, a Small Hypertrophic Lake, using MERIS," *Remote Sens. Environ.*, vol. 114, 2010, pp. 2070-2087.
- [23] Ahn, Y.-H., "Development of an Inverse Model from Ocean Reflectance," *Marine Technology Society Journal*, vol. 33, 1999, pp. 69-80.
- [24] Dekker, A., Vos, R. and Peters, S., "Comparison of Remote Sensing Data, Model Results and in Situ Data for Total Suspended Matter (TSM) in the Southern Frisian Lakes," *Science of the Total Environment*, vol. 268, 2001, pp. 197-214.
- [25] Dekker, A., Zamurović-Nenad, Ž., Hoogenboom, H. and Peters, S., "Remote Sensing, Ecological Water Quality Modelling and in Situ Measurements: A Case Study in Shallow Lakes," *Hydrological sciences journal*, vol. 41, 1996, pp. 531-547.
- [26] Ciotti, Á.M., Cullen, J.J. and Lewis, M.R., "A Semi-Analytical Model of the Influence of Phytoplankton Community Structure on the Relationship between Light Attenuation and Ocean Color," *Journal of Geophysical Research: Oceans*, vol. 104, 1999, pp. 1559-1578.
- [27] Lal, R., *Soil Erosion Research Methods*: CRC Press, 1994.
- [28] Robinson, A., "Sediment, our greatest pollutant?," *Focus on Environmental Geology. R. Tank, ed*, 1976.
- [29] Schalles, J.F., Schieber, F.R. and Starks, P.J., "Estimation of Algal and Suspended Sediment Loads (Singly and Combined) Using Hyperspectral Sensors and Integrated Mesocosm Experiments," Environmental Research Institute of Michigan, Ann Arbor, MI (United States)1997.
- [30] Everitt, J., Yang, C., Escobar, D., Webster, C., Lonard, R. and Davis, M., "Using Remote Sensing and Spatial Information Technologies to Detect and Map Two Aquatic Macrophytes," *Journal of Aquatic Plant Management*, vol. 37, 1999, pp. 71-80.
- [31] Harrington, J. and Repic, R., "Hyperspectral and Video Remote Sensing of Oklahoma Lakes," *Papers and Proceedings of Applied Geography Conferences*, 1995, pp. 79-86.
- [32] Dekker, A. and Peters, S., "The use of the Thematic Mapper for the Analysis of Eutrophic Lakes: A Case Study in the Netherlands," *International Journal of Remote Sensing*, vol. 14, 1993, pp. 799-821.
- [33] Aiken, G.R., "Humic Substances in Soil, Sediment, and Water: Geochemistry, Isolation, and Characterization," 1985.
- [34] Mobley, C.D., *Light and water: radiative transfer in natural waters*: Academic press, 1994.
- [35] Wu, M., Zhang, W., Wang, X. and Luo, D., "Application of MODIS Satellite Data in Monitoring Water Quality Parameters of Chaohu Lake in China," *Environmental monitoring and assessment*, vol. 148, 2009, pp. 255-264.
- [36] Ahn, Y.-H., Shanmugam, P., Lee, J.-H., and Kang, Y.Q., "Application of Satellite Infrared Data for Mapping of Thermal Plume Contamination in Coastal Ecosystem of Korea," *Marine environmental research*, vol. 61, 2006, pp. 186-201.
- [37] Giardino, C., Pepe, M., Brivio, P.A., Ghezzi, P. and Zilioli, E., "Detecting Chlorophyll, Secchi Disk Depth and Surface Temperature in a Sub-Alpine Lake using Landsat Imagery," *Science of the Total Environment*, vol. 268, 2001, pp. 19-29.
- [38] Ramasamy, S., Venkatasubramanian, V., Sam, K. and Chandrasekhar, G., "Remote Sensing in